

水系技术

内部资料·注意保存



沈阳水泵研究所

水泵技术

☆一九六六年第二期（总21期）☆

目 录

I. 6NB9使用情况調查及試驗報告

..... 韓耀东 (1—8)

II. 水泵流量、揚程瞬时变化的近似測量和換算方法

..... 李林根、梁文彥 (9—14)

III. 水泵試驗精度分析的探討

..... 浙江水泵厂陈承江 (15—19)

IV. 用文吐利管和其他流量計对含有固体的液体的流量測量

..... 王鉅明节譯 (20—32)

☆ 1966. 5. ☆

I. 6NB9使用情况調查及試驗報告

調查地點：江苏望亭發电厂。

調查時間：65年11月份

59年發展的N B型凝泵為我廠原定用來代替S N型凝泵的革新產品（S N型凝泵是仿蘇聯KCД型凝泵設計而成的，既大又笨）。它是借以在泵的進口部位放置誘導輪來改善汽蝕性能的，它的結構形式為單級、懸臂，N B型與S N型的外形見圖1。此種型式國外少見，我們僅見於楊樹浦電廠的一台美國泵與此種結構類似，不過與我們的N B型比，它仍顯得十分笨大。但是，N B型凝泵出廠以後，在電廠運轉中接連發生不少問題，用戶反映不佳，就這樣此型號凝泵被停止繼續生產。可是65年上半年水電部與一機部聯合組織的電廠用泵調查組報告中提到6 NB9凝泵在望亭電廠使用情況十分良好。為了總結經驗，本着“七事一貫制”的精神投入產品設計革命，我們到望亭電廠進行了對6 NB9的蹲點調查勞動。

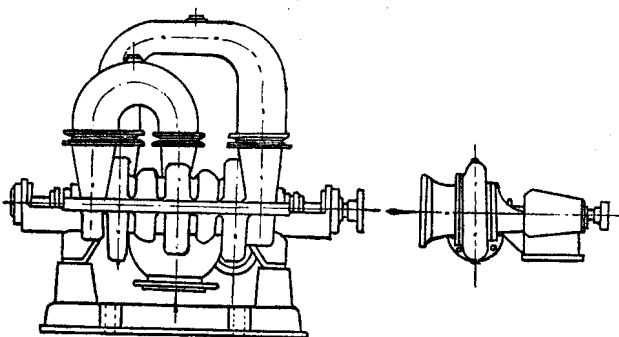


圖1 (兩圖為同一比例)

一、電廠對6NB9的一般反映：

與技術人員、機修工人和運行工人的廣泛接觸中，我們感到電廠對此泵十分滿意，小結一下至少有下列十條優點：

(1) 安裝簡便 (N B型凝泵吸入口水平方向布置，不像S N型凝泵吸入口朝下，因此無須挖方埋裝底管，減少了電廠基建投資)；

(2) 体积小，佔地面積少 (6 NB9的佔地面積僅為它所代替的8 SN10×3地面的 $\frac{2}{5}$)；

(3) 重量輕 (6 NB9的重量為160公斤，而8 SN10×3的重量為1920公斤)；

(4) 結構簡單 (6 NB9為單級、懸臂，而8 SN10×3為雙吸三級)；

(5) 運行性能良好；

(6) 操作維護方便；

(7) 檢修量小 (不論與8 SN10×3比，或與在該廠使用的同規格的匈牙利產品比，6 NB9的檢修量只有它們的 $\frac{1}{3}$)；

(8) 易損備件少，更換容易；

(9) 與該廠中使用的其他凝泵比電耗略小；

(10) 從運行、維護至檢修配備的工人無須高級工匠，普通級工人都能勝任。

總之，電廠對6 NB9的一般反映十分良好。在望亭電廠中，除了十號機上的凝泵是6 NB9外，其他機組的凝泵均为匈牙利及捷克的產品，在這些凝泵中，6 NB9的使用聲譽為最高。

二、投入运转初期发生的問題：

查看N B型凝泵的另一产品8 N B 9的使用情况調查報告，在洛阳、黃石等電厂中，N B型凝泵的致命缺陷是軸向力过大，以致运行短暫時間滾珠即被燒毀，无法繼續使用。

在望亭电厂，配备于10#机中压25000K W上的6 N B 9一投入运行就显示这样的缺陷：自动調節性能差，不能維持稳定运行，当汽机負荷降低到15000 莩时，由于凝結水量減少，凝泵的运行工况即剧烈晃动，此时付司机不得不馬上关小出水伐門至一定的圈数（大約关小12圈）。6 N B 9无法依靠本身产生的附加阻力来自動調節出力，因此它不能适应无水位运行。无水位运行是目前我国电厂中普遍采用的經濟的、先进的运行方法，6 N B 9既然无法适应，因此它就成为电厂中不受欢迎的产品。

除了上面所講的缺点外，投入运行后发现6 N B 9的振动还是較大，軸承的温升比其他型式的凝泵显高（以靠背輪端的滾珠为例，在夏天温度为60°C以上，在冬天温度为40°C以上）；棒測的油位計根本无法看清托架体內的存油；軸承压蓋的油毛毡密封不严，油往外淌，严重的影响現場的清洁与整齐。

三、對准存在的問題，电厂所进行的改进：

6NB9无法适应无水位的运行方式，在汽机負荷小时运行工况激烈晃动，有时甚至把热井水全部抽完产生打空現象，这一情況跟凝泵本身性能过大有关。針對矛盾經過电厂的技术人員和师付的改进，使6NB9具有上述的优点，否則我們上面所总结的十条优点就无法显示出来了。

从汽机負荷小于15000 莩須关小出水伐門得到启发，电厂在出水門前加裝一个节流孔板，孔徑为75~80mm，其大小是由关闭水門至12圈时伐門还余的开度而定的，从使用效果看，十分良好，基本上滿足了凝泵应用于无水位运行的要求。在后面我們将对此改进进行粗略的討論。

在結構及其他方面电厂作了如下的更动：

①水封眼的大小由原来的4 mm扩大至8 mm，这样避免了水封眼被堵住，加强了水封的作用，減少了在启动时可能产生的漏气影响。

②軸承压蓋处的毛毡密封漏油严重，是电厂用泵中存在的“老、大、难”問題，現改装配上海車另件上用的油封圈，将毛毡改成具有斜面狀的牛皮圈，運轉証明不漏。改善了現場清洁。

③与填料套相配部份的軸套加工的光洁度提高至▽▽▽▽10（精車至▽▽▽7后用00号砂紙砂，再加油后砂，然后用砂紙的背面加一些氧化鉻再擦即可达▽▽▽▽10），这样大大提高軸套及填料套的使用寿命。填料套的材質由黃銅改成磷青銅。

④誘導輪、叶輪使用以来只更換过一次，从汽蝕破坏看誘導輪进口有剝蝕，叶輪的叶片出口处有松孔，为提高材料的抗汽蝕性能，此二件均从鑄鐵改成銅質，叶輪背帽也改为銅料。

⑤棒測油位計无法指清油位，且受热油泡沫（如米开鍋时的泡）由此溢出，影响現場的清洁。現已堵死，改装成玻璃管油位計。

四、关于軸向力过大的另一面意見：

63年我厂曾派人去洛阳、重庆、黄石等电厂进行8 N B 9的用户調查，从調查报告中看出在上列电厂中8 N B 9的致命弱点是轴承的經常燒毀，最严重的是运行不到2小时即把滚珠燒毀，以致8 N B 9无法正常投入生产，当时把此一現象归結为水泵軸向力过大。

在望亭电厂我們对这一問題也进行了解，通过检修师付的介紹，我們認為在燒坏滚珠这件事上，除了泵本身軸向力是大一点外（轴承的温昇較其他型式的凝泵为高），但不能排除泵裝轴承处的机械加工精度，装配質量及泵的振动的影响等因素。

望亭电厂曾有这方面的經驗，由于固定两对滚珠的定位管的加工不良，托架盖又压得过紧，使滚珠处于非自由状态，結果运行不到三天滚珠即被燒坏。电厂对此情况引起注意以后，类似情况就不再发生。目前6 N B 9轴承的最高温度为40 °C，轴承使用无异常。

这方面的另一例子：在青島第一发电厂，4#机上的日本西川島出产的凝泵，原来的前后轴承用挡套定位，轴承温昇高于62 °C，滚珠在半年內燒坏40个，后取消定位挡套，温昇降至26~27 °C，滚珠沒坏过。

激烈的振动，也是影响轴承使用寿命的一个重要因素，望亭电厂也有这方面的經驗，匈牙利产的凝泵由于泵脚过小，引起振动較大（在靠背輪端轴承上测得振动达3~5道）因此轴承的使用寿命只有7~8个月。

本厂对8 N B 9用电阻变应仪进行过軸向力的測定，測得最大的軸向力为414公斤，数值不大。

根据上列情况，由此我們提出这样一种意見：燒坏轴承除了軸向力因素外不能排除轴承装置的结构及机械加工、装配質量和振动情况的影响，过去我們单一的只从減少軸向力方面着手，忽視对上述几項的注意，力图解决滚珠易損的問題，此种做法是值得进一步討論、研究的。

五、低水位运行對凝泵特性的影响：

前面我們談到投入运行初期，6 N B 9无法适应无水位运行，后經加入节流孔板方能良好使用，孔板起了哪些影响呢？

低水位运行时影响凝泵工作稳定性的因素很多，如汽机的負荷变化頻率，热井水位的变化幅度，管道的阻力大小、正常特性曲線与管道特性曲線的配合等等，这里我們僅介紹一下跟加入孔板有关的影响。

a. 在望亭电厂采用的凝泵規格及其結構、性能如下表：

凝 泵 型 号	H K - 7 --11	F B F - 150/220	6 N B 9	10 K M
額定出水量(吨/小时)	115	130	120	48
压 头 (米/水柱)	65	60	65	60
轉 速 (轉/分)	1460	960	2950	1450
叶 輪 級 數 及 結構 型 式	3 級帶導葉	4 級帶導葉	單級帶誘導輪	3 級帶導葉
叶 輪 材 料	青 銅	鑄 鐵	鑄 鐵	青 銅
制 造 厂 家	捷 克	匈 牙 利	沈阳水泵厂	上海汽輪機廠

目前上列四种規格的凝泵都能滿足低水位运行的要求，所以就結構特点等而言对低水位运行是沒啥影响的。

b. 根据伯努利方程，若水泵叶輪进口处的压力 P_i ，則与凝汽器真空 P_k 存在如下的关系：

$$\frac{P_i}{\gamma} = \frac{P_k}{\gamma} + L - \frac{C_o^2}{2g} - H_b$$

式中： C_o —— 水泵叶輪进口处水流平均速度。

L —— 热井高出凝結水泵的水位。

H_b —— 水泵吸入管路中的摩阻损失。

γ —— 凝結水的重度。

$$H_b = \sum \lambda_i \frac{C_o^2}{2g} = \sum \lambda_i \frac{Q^2}{2gF^2}$$

λ_i —— 为吸水管路的各种摩阻损失系数。

F —— 为进水管道的截面积。

为了使水泵叶輪进口处不致发生汽化現象，則必須

$P_i > P_k$ 亦即：

$$\frac{1}{\gamma} (P_i - P_k) = L - \frac{C_o^2}{2g} - H_b = L - \left(\frac{1 + \sum \lambda_i}{2gF^2} \right) Q^2 = L - BQ^2 > 0$$

式中 B 值对于一定的进水管道为一常数。

分析一下：为使 $P_i > P_k$ 必須要 $L > BQ^2$ ，也就是說維持一定的高出水泵平面的热井水位值 L 是保証水泵叶輪进口处不致发生汽化的必要条件，且这一水位值的大小与水泵出水量 Q 有关，从这一不等式中看出，維持无水位运行对水泵流量 Q 的变化是有一定要求的，无水位运行本身就是由凝泵的汽蝕特性影响流量的变化来达到的，我們知道，在不同的流量 Q_H 、 Q_1 、 Q_2 ……下，必須滿足与之对应的倒灌高度（即热井水位值） L_H 、 L_1 、 L_2 ……当热井水位由 L_H 下降到 L_1 时，泵内即发生輕微汽蝕，出水量由 Q_H 下降到 Q_1 ，如果此时 Q_1 小于凝汽量，那末 L_1 又将上升到 L_H ，流量又恢复至正常工况 Q_H ，这就是凝泵能自动适应水位变化自动調節出水量的工作原理。但如果凝泵汽蝕特性十分恶劣，泵本身的性能又过大，那末当热井水位变化时，流量的变化就不可能使 $L > BQ^2$ 的不等式成立，水位一直处于下降，汽蝕影响势必加剧，引起工况的剧烈晃动，以致最后无法投入正常运行。

6 NB 9 就有这样的缺陷，性能过分偏大，运行实际需要 $Q = 60 \sim 80$ 米³/小时， $H = 5 \text{ kg/cm}^2$ 左右而它的設計性能为 $Q = 120$ 米³/时 $H = 6.5 \text{ kg/cm}^2$ 。

c. 我們知道水泵的工作点是由 $H \sim Q$ 图上的水泵工作特性曲线与管路特性曲线的交点所确定的。管路特性曲线具有抛物線形式。即： $H = H_c + BQ^2$ 。

式中： H_c —— 靜給水高度。

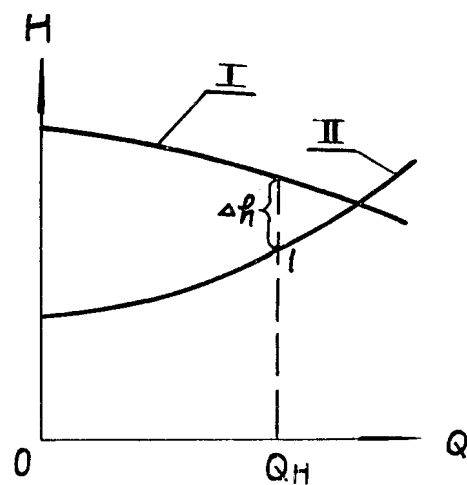


图 2

B ——管路常数。

如果正常工作特性曲线显著地高出管路特性曲线，那末水泵在低水位下运行情况就相当恶劣。如图2所示。曲线I为水泵正常工作特性曲线，曲线II为管路特性曲线，由于两曲线距离甚大，在热井水位下降时，额定流量 Q_H 时的工作点1下，就得有 Δh 大小的泵的内部压头损失， Δh 越大，水泵汽蚀性能越差，所以泵工作可靠性也就差。6 N B 9 冷凝泵，按其特性曲线在出水量为100^t/小时时，其压头近70米水柱，通过测定，凝结水管路在此一流量下所需的总扬程水头仅为55米水柱左右，由于压头高出过多，即内部压头损失 Δh 值过大。因而汽机负荷下降到15000瓩时，（此时凝汽量为70^t/小时左右）该水泵即失去了低水位运行的稳定性。

由此，我们可看出，装置节流孔板以后，由于管道阻力的增加（管路常数B增大）使管路特性曲线向上提，如图3所示：

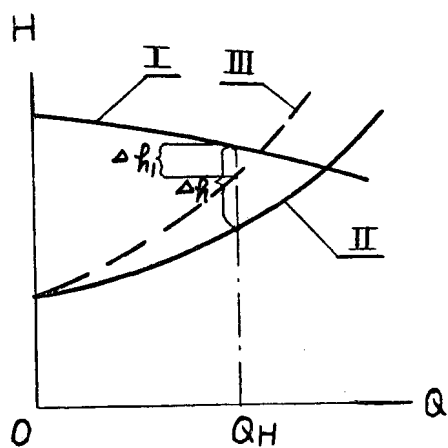


图3

曲线I为水泵正常特性曲线，曲线II为未装孔板时的管路特性曲线，曲线III为加装孔板以后的管路特性曲线，由图可看出，当在额定流量 Q_H 时，加装孔板以后，水泵内部的压头损失 Δh_3 比未装孔板时的水泵内部压头损失 Δh_1 小得多，这样使汽蚀性能有所改善，水泵在低水位运行的稳定性也提高了些，（不过，从图上可看出，在小流量时，这种效果并不显著）。

另一方面，由于管路特性曲线向上提，水泵的正常工作点的范围也向小流量方面偏了些，即水泵的最大出水量由于加装了孔板变得小了一些，这样热井水位下降幅度及下降的速度有所减少及缓慢，换句话说讲，热井水位变化范围小了，即相对提高了热井的水位，这也有利于汽蚀性能的改善，目前6 N B 9之所以能良好地应用，就是因为改装了以后，减少了上述对运行不利影响的那些部分。

d. 其实，我们认为，要使水泵正常特性曲线不太高出管道特性曲线切割叶轮的外经即可，如图中曲线III，刚好通过工作点1。切割叶轮还可减少电耗，望亭电厂为啥采用增加管路阻力的办法呢？我们猜测可能是当时受关闭出水伐门12圈这一情况的影响，因此就用装节流孔板办法。改装以后，见能良好使用，也就把这一问题搁起来了。

六、电厂中作现场试验介绍：

为了比较全面地摸清6 N B 9 经过改装孔板以后的性能情况，以便作为我们进行新设计的参考，我们在电厂安排了现场试验。

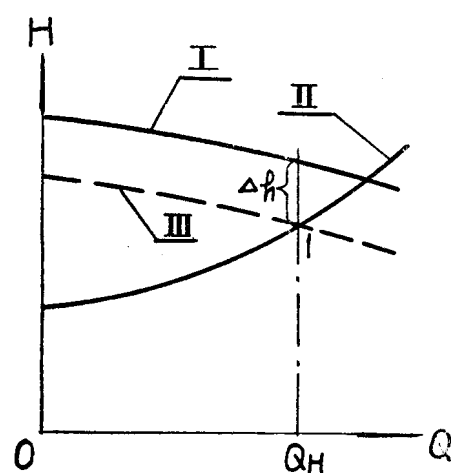


图4

a. 在望亭电厂我們进行了三項試驗：热态特性曲線（即管路特性曲線）的測定，冷态特性曲線（即水泵的正常特性曲線）測定及汽蝕性能的測定，汽蝕試驗按图 5 所示操作：

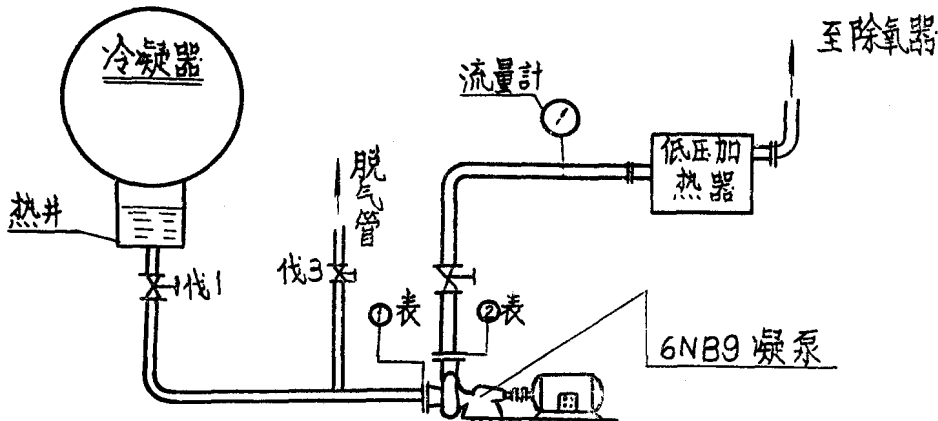


图 5 6 NB 9 现场試驗装置示意图

用增加进口阻力的方法来进行汽蝕試驗的，即启泵以后固定某一流量，然后緩慢关閥 1，見表 1 的真空值逐渐提高，如果流量計值有少許变动，可微开出口伐 2 調節，关闭伐 1 至此情况时：流量值大幅度下降，回启压力伐压力表出現剧烈的晃动、下跌，泵內噪音厉害，那末即表示此泵已汽蝕至断裂工况，記錄并經換算，即可求得此泵的汽蝕性能。

在现场做汽蝕試驗須注意的問題，是脫气管上的伐 3，必須严密关死。一开始，我們失敗了好几次，当真空表才刚显负压，流量与压力就猛跌，原因是伐 3 没关严，因此当进口显真空时，大气由脫气管进入，破坏真空，以致試驗无法繼續进行。

b. 試驗結果的几点分析比較：

①冷态特性曲線表明，現場試驗的水泵正常特性曲線比我們在厂內进行試驗結果平坦得多，这說明电厂使用的这台 6 NB 9，其誘導輪在小流量时軸流泵工况的影响在整个机组中反映不明显，此使关死点附近功率消耗小一些，这种情况的差异可能是因为誘導輪在鑄造与加工中存在着不同所至，厂內的二台 6 NB 9 性能也可看出这一点。

②由于电厂对 6 NB 9 在未装孔板前做过的热态試驗記錄不詳，因此，管路特性曲線无法比較，但从曲线上可看出，管路特性曲線限制了水泵的最大出力，(6 NB 9 的設計点： $Q = 120 \text{ 米}^3/\text{小时}$ ， $H = 65 \text{ 米}$) 目前最大使用范围流量不超过 $100 \text{ 米}^3/\text{小时}$ ，对于負荷較低时，热井水位的稳定性有一定好处。

③从試驗結果中看出，加裝孔板后，功率消耗比我們厂中試驗的大了 2—3%。因此說用提高管路阻力的办法来改变水泵的工作点是十分不經濟的。

由于試驗用表只有 2.5 級精度(本厂內使用的表为 0.5 級的) 电流表讀数准确性更差，因此整个試驗的准确度是較差的，特別是在汽蝕試驗时控制流量十分困难，因此汽蝕試驗只能反映一般的動向。

④整理汽蝕試驗資料并与我們厂中进行的試驗进行比較，我們看出汽蝕性能在現場的与我們厂里的都差不多，在 $Q = 60 \text{ m}^3/\text{小时}$ 时，电厂做出的汽蝕性能 $\Delta H = 1.65 \text{ 米}$ ，厂內进行的 $\Delta H = 1.55 \text{ 米}$ ，电厂中做出的結果与厂內做出的結果几乎相同，这說明 6 NB 9 的汽蝕性能基本上能满足需要。目前电厂中 6 NB 9 的汽蝕性能沒显示什么問題，这跟此二点有关：其一：

凝汽器具有一定压力，其二：电厂的灌注头达1.80m以上，而6NB9的设计要求，灌注头为1.5m，所以运行中较为安全。

试验曲线见图6。

七、结论与改进设计的建议：

在望亭电厂，通过跟班运行劳动，通过与技术人员、老工人的三结合调查，通过现场的试验，基本上对6NB9的使用情况有了较清楚的了解，现提出我们的意见：

a. NB型冷凝泵为我厂用来代替笨重的SN型凝泵革新产品，当时由于技术上存在一些问题，以致投入运转后事故不断发生，最后成为淘汰产品。据了解，中国电机公司东北一级供应站一个单位的NB型凝泵存货还存有130台以上形成一笔数额很大的浪费。

就6NB9而言，我们认为在凝泵中采用带诱导轮的结构是先进的，也是提高汽蚀性能的途径，通过计算得知，6NB9的汽蚀比转速 C_{kp} 值达2600左右，比一般凝泵的汽蚀比转速 C_{kp} 为1200左右提高了一倍以上。具有高汽蚀比转数的6NB9完全是在电厂中投入运行的，由于其主要缺点是性能过份偏大，因此电厂只要根据本厂的凝结水系统阻力要求进行适当切割叶轮即行，望亭电厂用加装孔板办法虽然方便但不经济，南京下关电厂通过到望亭电厂进行学习，目前6NB9也良好投入运行，由此结论：6NB9只要适当切割叶轮，完全可以作为凝泵运行，只要适当改进，完全不应淘汰生产。

b. 6NB9产品在进行改进或新的设计中提出下列意见及建议：

①从电厂与本厂试验中我们看出诱导轮对整个机组的性能影响很大，目前国外有不少人研究诱导轮，但多见用于液态火箭发动机及航空用泵上，此种泵由于进口加入很大的压力，虽然转速在24000转/分以上，汽蚀比转速的值还是不大的，在2950转/分转速的冷凝泵上采用诱导轮，国外的产品中我们还未见过。诱导轮在整台泵中起着十分重要的作用，为把最完美的诱导轮应用到产品上去，我们认为必须加强下列几方面的试验研究即：诱导轮的各个设计参数（如导程 H_0 ，叶片进口冲角 α ，翼展比 $1/t$ 等）对泵汽蚀性能的影响问题，开式诱导轮与闭式诱导轮的选用问题，机翼型状对性能的影响问题等等。

②在现场安装中建议把脱气管位置移到接近诱导轮入口处，并适当加粗脱气管，脱气管的另一端接在热井上部这有利于在泵的入口建立真空，对改善汽蚀有一些好处。

③电厂目前在结构、材料上所做的变动在改进设计中可吸取。如：扩大水封眼，毛毡油封改用牛皮油封，提高轴套在填料套部分的光洁度等等。

④清晰的油位标记对运行人员来说是十分需要的，因此在改进及新设计中，油位标记宜采用新式的玻璃油杯计。

⑤定位管的加工与装配质量是影响轴承使用寿命的一个因素，建议取消定位管，滚珠由

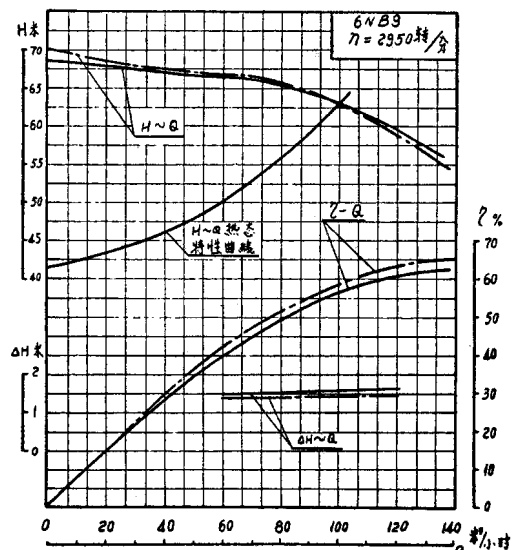


图6 ——本厂试验结果图示
——电厂试验结果图示

軸本身台阶定位。

⑥泵脚太小，引起振动（在前轴承处测得振动量为2—3道）也是导致轴承损坏的一个重要因素，因此在改进或新的设计中宜适当增大泵脚以减少运行时的振动。

6 N B 9 的成功的使用经验证明了冷凝泵高速化的可能性（8 S N 10×3 的转速为 1450 转/分，6 N B 9 的转速为 2950 转/分）。冷凝泵采用诱导轮装置，不但大大简化了冷凝泵的结构，而且在大幅度提高转速情况下仍能保证良好的汽蚀性能，这是冷凝泵的一项重大革命，工人称这为“老牛变蚂蚁”。通过总结，我们认为：我厂 59 年生产的 N B 型冷凝泵是具有独特风格的，结构上是先进的，在我国的冷凝泵系列发展上，这是值得推荐的型式。

I. 水泵流量、揚程瞬时变化的近似測量和換算方法

一、概述

随着国民经济的迅速发展，水泵应用范围越来越广，对它的使用要求也越来越高。例如：不但要根据特性曲线，知道水泵在某一工况的流量，扬程的平均值，而且还要求知道水泵启动或停机时，任意时刻的流量与扬程的瞬时值。以保证整个系统正常工作。因此制造厂为了使产品能满足客观的需要，在产品设计时要对机组的转动惯量予以足够的注意，但因机组运行时条件复杂，产品是否真正达到预想的目的，是否真正满足了客观的要求，不能完全依靠计算来解决，必须通过实验的方法来验证。

根据我们了解，水泵瞬时流量与扬程的测量，有多种方法。如摄影法，电感法，测速法等。前两种方法由于测量元件具有惰性的关系，因此不太准确，我们采用了测速法。这种测量方法的优点是：测量范围较宽，而且根据比较误差也较少。同时能够测量出整个机组启动或停机所需的全部过程。

二、使用设备和操作方法

1. 直流测速发电机，如图 1 所示，将它安装在机组的轴端，使其与机组同步旋转。这个直流测速发电机的结构如图 2 所示。它与一般直流测速发电机主要不同之处，在于该直流测速发电机电压信号经过整流子（图 2 中之 5）发出之后，要通过削波器（图 2 中之 4）输出。削波器因其本身具有两块互相绝缘的导体组成的特点，将平直的电压波形，变成具有每转一个脉冲波的信号（因削波器与整流子同轴）。如图 4 所示。

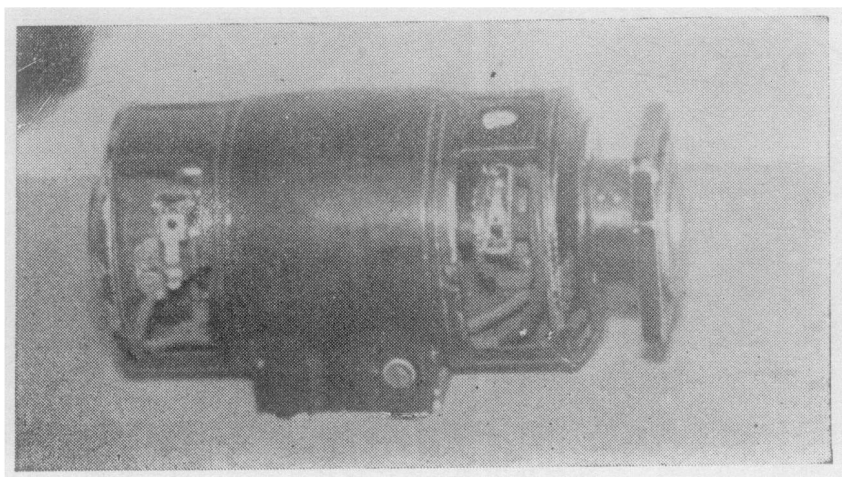


图 1

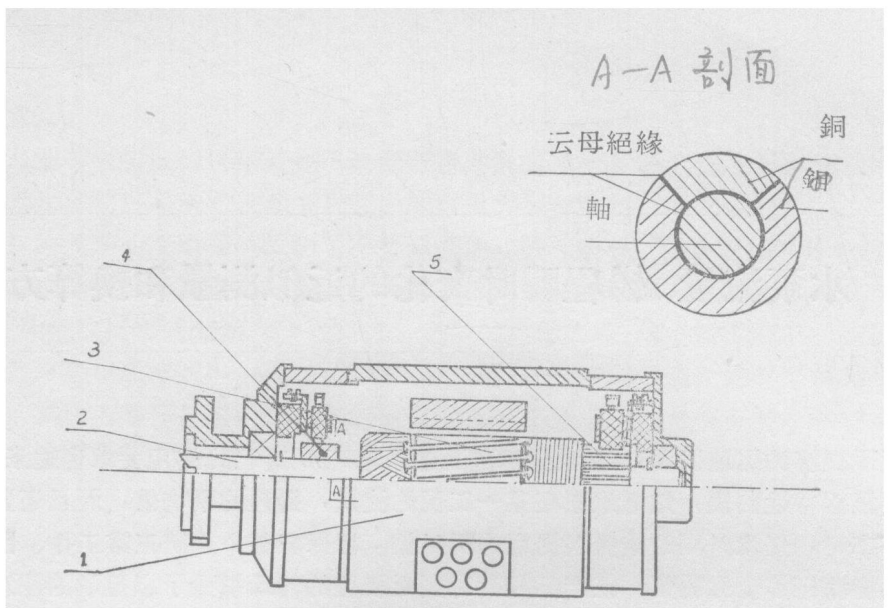


图 2

1. 机壳, 2. 軸, 3. 电枢, 4. 削波器, 5. 整流子

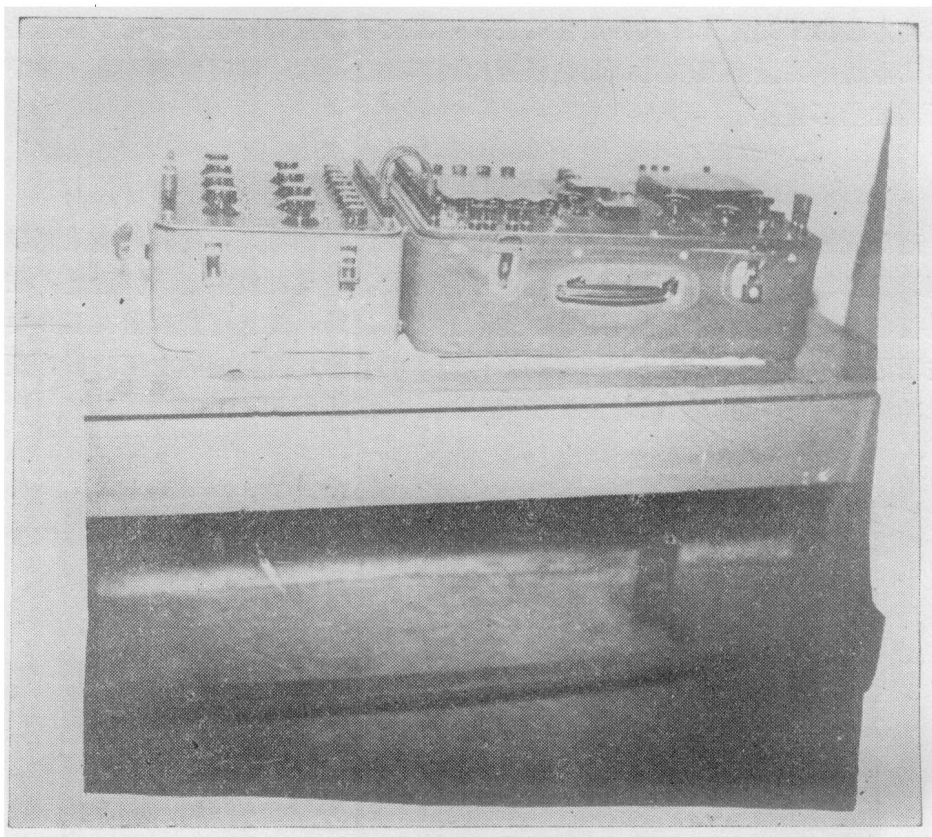


图 3

2. 調壓器——使220V工頻电源, 变为10V, 50周/秒的交流电压, 作为時間信号。
3. FF₂型附加电阻箱——降低輸入信号电压使其电流不超过示波器中振子的允許值
4. S C—1型八線示波器——指示和記錄輸入信号的变化情况。

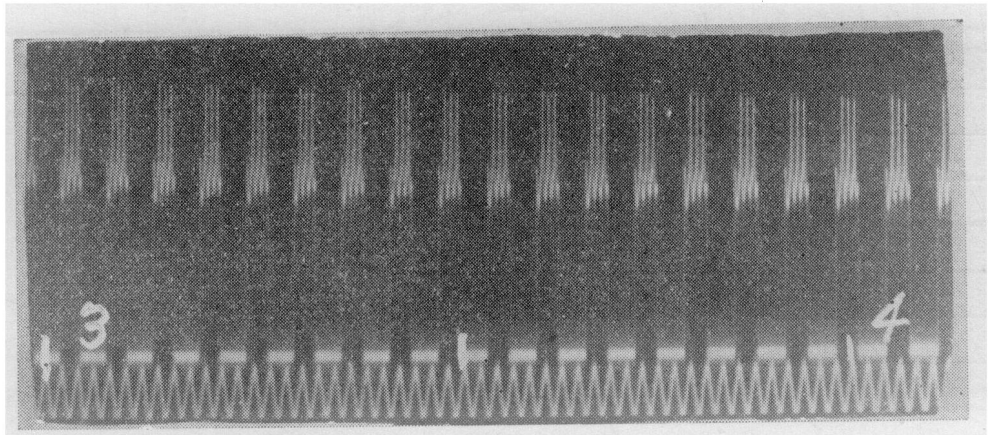


图 4

用导线把直流测速发电机的电压信号（工作信号），与50周 / 秒工频电源信号（时间信号），通过FF2型附加电阻箱接入SC-1型八线示波器中。如图3所示。然后在示波器中装入足够长的胶卷，调好胶卷储量，拍摄长度，拍摄速度，信号光点位置，光栅等旋扭。如欲测水泵启动后，到达超定轴数时间间隔内的瞬时流量，揚程时，要把示波器远距离拍摄接线柱，与机组控制屏的常开接点接通。如欲测停車断电后的不同时刻的、瞬时流量揚程时，要将示波器远距离拍摄接线柱，与机组控制屏常闭接点接通。以达到示波器拍摄动作与机组的启动或停車同步的目的。这样一来只要泵机组启动或停車之后，示波器就会因控制屏常开或常闭接点接通，而自动拍出直流测速机的工作信号，与10V，50周/秒工频电源正弦波形的时间信号。如图4所示（拍摄速度为50mm/秒）如欲测量水泵任意时刻的流量与揚程时，只要示波器手动拍摄按钮即可。

把示波器中拍摄的胶卷进行冲洗处理之后，用墨笔注上时间间隔，即从拍摄始点起，每50个正弦波为一秒，一直数下去。注好时间之后，再把胶片放在阅读器上进行读数。因为直流测速发电机每一轉发出一个脉冲波，则它对应多少个工频电流的正弦波。（即图4中每个凸凹波对应几个正弦波），就表示机组轉一轉所化費的时间（每秒有50个正弦波，所以每一个正弦波所对应的时间为0.02秒）。从而可以算出此刻机组每分鐘多少轉。例如：表1所示为机组从1500轉/分停車断电以后不同瞬时的轉数值。

表一

第 秒	机組每轉需要時間	机組每分鐘轉速	備 註
0	0.04	1500	
1	0.06	1000	
2	0.08	750	
3	0.1	600	
4	0.12	500	
5	0.14	428	
6	0.16	375	
7	0.18	333	
8	0.2	300	
9	0.22	272	
10	0.24	250	
12	0.28	214	
14	0.32	188	
16	0.36	166	
18	0.4	150	
20	0.44	136	
22	0.48	125	

三、換 算 方 法

按照比例定律，水泵流量Q揚程H和轉數n有下面的关系：

$$\frac{n_0}{n_t} = \frac{Q_0}{Q_t} \quad \frac{n_0^2}{n_t^2} = \frac{H_0}{H_t}$$

因此当知道水泵启动之后，在某一工况下的流量Q₀，揚程H₀，轉數n₀（Q₀，H₀从标准压力表和流量計讀得）并知道机組任意时刻的瞬时轉数后，就可以換算出水泵在那一时刻的流量Q_t与揚程H_t。

例如：水泵未停車之前流量Q₀=1000升/秒，揚程H₀=150米，不同瞬时轉数如表一所示各值时，则不同时刻流量与揚程的数值經換算后如表二所示。为了看出不同时刻流量与揚程連續，变化过程，可以按表二作曲綫，如图5所示。

表二

第 秒	机組每分鐘轉數轉/分	流 量 升/秒	揚 程 (米)
0	1500	1000	150
1	1000	667	66.7
2	750	500	37.4
3	600	400	24
4	500	334	16.7
5	428	286	12.2
6	375	250	9.35
7	333	222	7.35
8	300	200	6
9	272	181	4.94
10	250	167	4.16
12	214	143	3.04
14	188	125	2.01
16	166	110.5	1.83
18	150	100	1.5
20	136	90.5	1.23
22	125	83.3	1.04

四、誤差估計

这种測量方法产生誤差的原因大致如下：

1. 仪器固有动作時間产生的誤差。

示波器拍照时，电磁离合器固有动作時間为25毫秒，即胶片上所指的時間比真实時間滞后了25毫秒。

2. 計算上的誤差：

如果拍摄速度为50mm/秒，时间信号为50周/秒，当胶片放在放大系数大于5以上的放大器上觀察时，視力誤差不大于 $\pm 1/16$ 个波。即時間誤差不大于 ± 0.00125 秒。可以算出轉數

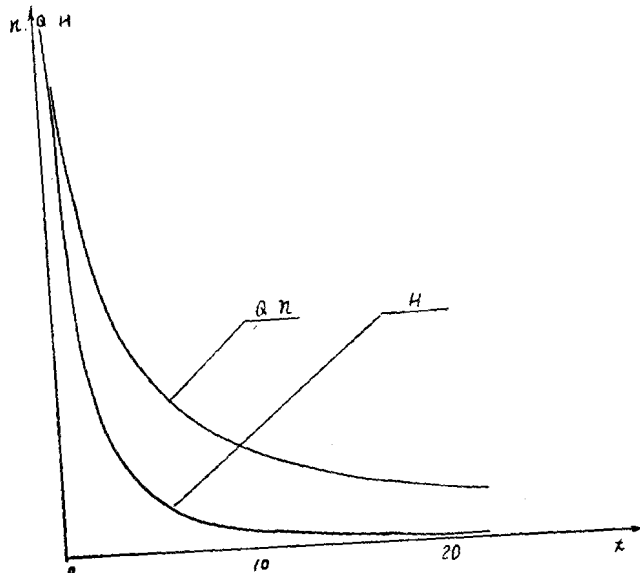


图5

的誤差最大不超过±3%。如果采用100周/秒時間信号，拍攝速度增加到100mm/秒。按上述同样方法計算出最大誤差不大于1.5%。如用500mm/秒拍攝速度500周/秒時間信号誤差就降低至0.3%。選擇時間振子頻率越高，拍攝速度越高，誤差就越小。

以上測量——換算方法是我們初次試驗，由於實踐和理論水平有限，錯誤和不當之處，望同志們給予批評和指正。

III. 水泵試驗精度分析的探討

隨着形勢的發展，對我們水泵行業提出了更高的要求，在以好字當頭方針指導下，產品質量有了很大提高，幾年來，水泵行業各廠在社會主義建設中提供了大量的性能可靠的水泵產品，對社會主義建設起到了巨大的作用。

水泵性能是水泵產品質量的重要指標，是行業水平的重要標誌之一，而性能試驗是反映水泵實際性能的重要手段，為了精確地反映水泵的實際性能，因此，就要求水泵試驗具有一定水平的試驗精度：

第一機械工業部頒發的化工通用機械專業標準（試行）TH 6—59離心泵、軸流泵和旋渦泵試驗方法，及TH 7—59水泵流量的測定方法，對試驗方法，試驗設備，儀器儀表提出了具體的要求，本文就水泵試驗精度分析作如下探討，提供有關工程技術人員，專業研究人員參考，由於受水平限制，如發現錯誤和不妥之處，請同志們提出指正意見。

水泵試驗精度，一般說來包括兩個方面，試驗設備誤差和試驗操作誤差。

本文的水泵試驗精度分析採用均方根誤差分析法。

如果試驗設備、儀器、儀表根據標準規定設計製造和使用，以及按規定方法進行水泵試驗時，它可使各性能參數試驗誤差在一定範圍之內，即：

揚程試驗誤差在0.5%以內

流量試驗誤差在1.5%以內

軸功率試驗誤差在1.1%以

內

效率試驗誤差在2.5%以內

全面的詳細的一份試驗報告里，試驗精度分析是不可缺少的一個主要內容之一，現對各性能參數的試驗精度分析分述如下：

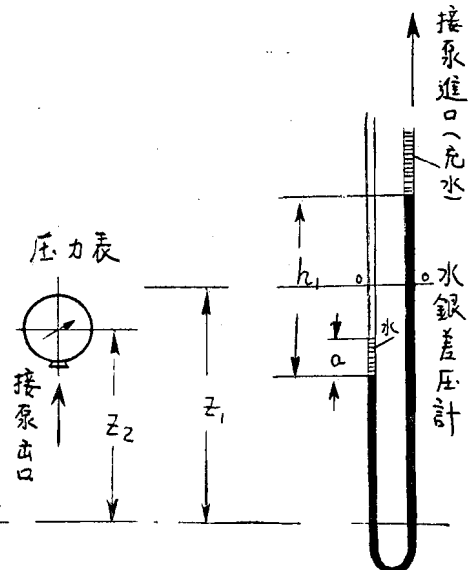
一、揚程試驗誤差 δH

(I) 壓力表測出水揚程，水銀差壓計測進水揚程（如圖1所示）

$$\begin{aligned} \text{總揚程 } H &= \frac{10P}{r} + \frac{13.1h_1}{r} \\ &+ \frac{V_2^2 - V_1^2}{2g} \pm Z_1 \pm Z_2 - a \end{aligned}$$

(泵基準面)

(1-1)



(圖1)